

INTRODUÇÃO À GEODÉSIA FÍSICA

POR

José Milton Arana

Departamento de Cartografia
Faculdade de Ciências e Tecnologia
Unesp – Campus de Presidente Prudente

OUTUBRO / 2009

SUMÁRIO

CAPA	i
CONTRA CAPA	ii
SUMÁRIO	iii
1 GEODÉSIA FÍSICA	1
1.1 Introdução	1
1.2 Coordenadas geodésicas	2
1.3 Geodésia Física	4
1.3.1 <i>Campo da gravidade</i>	4
1.3.2 <i>Componentes da força de atração</i>	6
2 POTENCIAL DE ATRAÇÃO	10
2.1 Potencial gravívico	14
2.2 Campo da gravidade normal	16
2.3 Potencial anômalo	17
2.4 Funções harmônicas	21
2.4.1 Equação de Laplace em coordenadas retangulares	21
2.4.2 Equação de Laplace em coordenadas esféricas	22
2.4.3 Polinômio de Legendre	23
2.4.4 Harmônicos esféricos	25
2.4.5 Geopotencial em harmônicos esféricos	26
2.5 Operadores	31
2.6 Campos vetoriais	31
2.7 Geóide e desvio da vertical	32
2.8 Campo da gravidade terrestre	33
2.9 Geópes e vertical	35
3 EQUAÇÃO FUNDAMENTAL DA GEODÉSIA FÍSICA	38
3.1 Potencial anômalo	38
3.2 Anomalia da gravidade	40
3.3 Distúrbio da gravidade	41
3.4 Equação fundamental da Geodésia Física	41
3.5 Potencial anômalo, anomalias e ondulações expressos em séries de harmônicos esféricos	43

4 PROBLEMA DE CONTORNO.	48
4.1 Determinação gravimétrica das ondulações do geóide e do desvio da vertical	49
4.2 Integral de Stokes	50
4.3 Co-geóide	52
4.4 Restrições na aplicação da integral de Stokes	52
4.5 Fórmula de Vening-Meinesz	53
4.6 Aplicação da Fórmula de Stokes	54
4.6.1 <i>Determinação de N pelo método das zonas</i>	54
4.6.2 Determinação de N pelo método dos quadrados	55
5 REDUÇÕES GRAVIMÉTRICAS	58
5.1 Anomalia free-air	59
5.2 Anomalia de Bouguer	59
5.3 Reduções isostáticas	61
5.3.1 <i>Sistema de Pratt-Hayford</i>	62
5.3.2 <i>Sistema de Airy-Heiskanen</i>	62
5.4 Efeito indireto	63
6 ALTITUDE	64
6.1 Números geopotenciais	65
6.2 Altitudes científicas	66
6.2.1 <i>Altitude ortométrica</i>	67
6.2.2 <i>Altitude de Helmert</i>	67
6.2.3 <i>Altitude de Vignal</i>	68
6.2.4 <i>Altitude normal</i>	69
6.2.5 <i>Altitude dinâmica</i>	69
6.3 Influência da atração luni-solar no valor da gravidade	70
7 MÉTODOS PARA DETERMINAÇÃO DO GEÓIDE	71
7.1 N a partir da anomalia da gravidade	72
7.2 N a partir do desvio astro-geodésico	73
7.3 N a partir de modelos do geopotencial	75
7.3.1 <i>Modelo OSU91A</i>	77
7.3.2 <i>Modelo EGM2008</i>	77
7.4 N a partir do GPS/nivelamento	78

7.5	Determinação de N a partir do GPS/nivelamento associados aos modelos do geopotencial	80
8	BIBLIOGRAFIA	83

NOTAS DE AULAS

Geodésia Física

1. INTRODUÇÃO

Rotineiramente a Geodésia Física preocupa-se com o estudo da gravidade e suas aplicações geodésicas, pois o geodesta sempre está envolvido com três superfícies:

- **superfície física da Terra** é a superfície onde são efetuadas as operações geodésicas;
- **superfície de referência** é a superfície do modelo geométrico adotado - onde são efetuado os cálculos geodésicos (usualmente o elipsóide de revolução);
- **geóide** é uma superfície eqüipotencial do campo da gravidade, em uma primeira aproximação é aquela que mais se aproxima ao nível médio dos mares não perturbado.

Usualmente, devemos “conhecer” o geóide, pois entre outras, a altitude ortométrica (que possui interesse às obras de engenharia) é definida como “distância, contada ao longo da linha vertical, do geóide ao ponto de interesse”. A altitude ortométrica pode ser obtida com o nivelamento geométrico associado à gravimetria, ou com rastreamento de satélites artificiais onde são conhecidas as ondulações do geóide **N** (**ondulação do geóide ou altura geoidal** é definida como a distância, contada ao longo da normal, do elipsóide de referência ao geóide).

Entende-se por superfície eqüipotencial, àquela que em todos os seus pontos possui o mesmo potencial; a superfície eqüipotencial do campo da gravidade possui a propriedade de *em todos seus pontos ser perpendicular à direção da **vertical***.

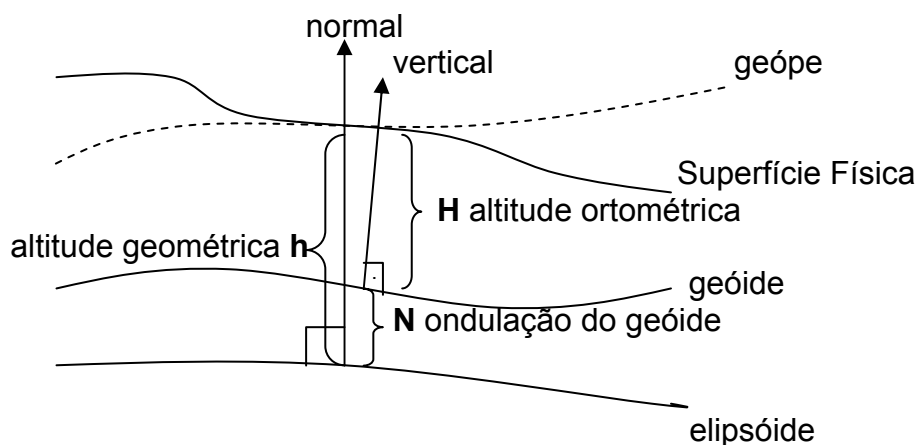


Figura 01- Superfícies de referências

Desvio da Vertical (i) é o ângulo formado pela normal (ao elipsóide) e pela vertical (perpendicular ao geóide passando pelo ponto).

O desvio da vertical (i) pode ser decomposto em:

- componente meridiana (ξ); e
- componente primeiro vertical (η).

A componente meridiana do desvio da vertical pode ser determinada por:

[illegible]

[illegible]

$$\eta = (A_g - A) \cotg \varphi. \quad 1.04$$

Das Equações 1.03 e 1.04, tem-se:

$$(\lambda_a - \lambda) \cos \varphi = (A_a - A) \cotg \varphi$$

ou

$$A = A_a - (\lambda_a - \lambda) \operatorname{sen} \varphi$$

Estas equações permitem transformar grandezas Astronômicas em Geodésicas e vice-versa, conhecidas as componentes do desvio da vertical. A Equação 1.05 é conhecida como Equação de Laplace (simplificada), possibilita a transformação de Azimute Astronômico em Geodésico, sem o conhecimento do desvio da vertical.

As componentes do desvio da vertical também podem ser determinadas a partir da anomalia da gravidade, a qual também permite a determinação da ondulação do geóide. Estes problemas são casos particulares da Geodésia Física, que faz parte de um mais geral “Problema de Contorno da Geodésia Física”, que implica na determinação gravimétrica da superfície terrestre.

1.3 Geodésia Física

A “área” da Geodésia que se conhece sob a denominação de Geodésia Física preocupa-se com o estudo da gravidade e suas aplicações geodésicas. A partir das identidades de Green pode-se chegar às equações integrais que relacionam a Superfície Física do planeta com o potencial da gravidade e sua derivada normal.

Os instrumentos usados pelos geodestas estão sujeitos à diversas forças físicas. A interpretação correta das medidas efetuadas necessita do conhecimento destas forças. A força mais comum é a Força da Gravidade da Terra. Para se estudar a geometria da Terra, o geodesta necessita do entendimento do Campo da Gravidade Terrestre, para este entendimento a Teoria de Newton é suficiente.

As determinações relativas da gravidade, notadamente simplificada com a utilização de gravímetros, permitem chegar às anomalias da gravidade e a partir destas é possível o cálculo das componentes do desvio da vertical (utilizam-se das fórmulas de Vening-Meinesz) e das ondulações do geóide (utilizando-se da Integral de Stokes), estes são considerados casos particulares do *Problema de Contorno da Geodésia Física*, que implica na determinação gravimétrica da Superfície Física da Terra (utilizando-se da Fórmula de Hunter-Molodenski).

1.3.1 Campo da Gravidade

A *Lei da Gravitação Universal* foi formulada por Newton, com base nas Leis de Kepler. A Lei da Gravitação Universal nos diz “ *Uma partícula de matéria isolada no universo atrai outra partícula, com uma força cuja direção é a linha que as unem, cuja magnitude é diretamente proporcional ao produto de suas massas, e inversamente proporcional ao quadrado da distância que as separam*”.

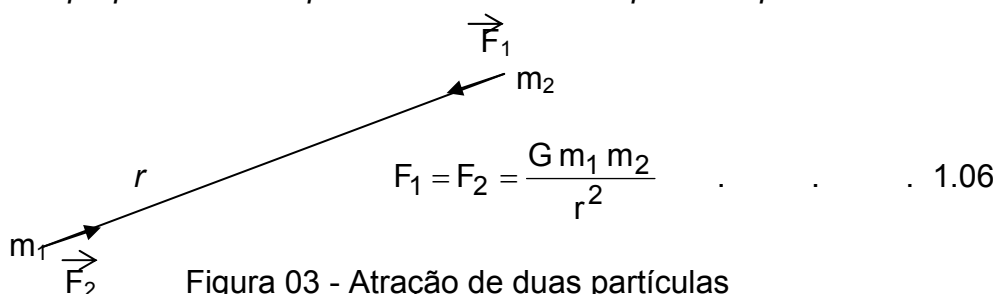


Figura 03 - Atração de duas partículas

A força exercida pelas partículas é conhecida como Força Gravitacional, também conhecida como Força de Atração Gravitacional ou Força de Atração de Newton. **G** é conhecido como Constante de Newton ou Gravitacional.

No sistema CGC, tem-se

$$G = 66,72 \cdot 10^{-9} \text{ cm}^3 \text{ g}^{-1} \text{ s}^{-2}$$

No sistema Internacional,

$$G = 66,72 \cdot 10^{-12} \text{ m}^3 \text{ Kg}^{-1} \text{ s}^{-2}$$

Vetorialmente, a força exercida por dois corpos m_1 e m_2 de dimensões negligenciáveis, será:

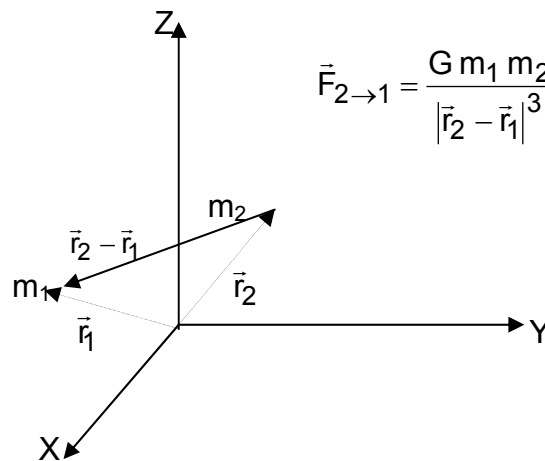
$$\vec{F}_{2 \rightarrow 1} = \frac{G m_1 m_2}{|\vec{r}_2 - \vec{r}_1|^3} (\vec{r}_2 - \vec{r}_1) \quad . \quad . \quad 1.07$$


Figura 04 - Força Vetorial

Usualmente, considera-se uma das partículas atrativa e a outra como atraída.

$m_1 = m$ (partícula atrativa, de coordenadas x' , y' , e z')

$m_2 = 1$ partícula atraída (x , y , z)

$$F = \frac{GM}{r^2} \quad . \quad . \quad . \quad 1.08$$

$$\left. \begin{aligned} F_x &= -\frac{Gm}{r^3}x \\ F_y &= -\frac{Gm}{r^3}y \\ F_z &= -\frac{Gm}{r^3}z \end{aligned} \right\} \dots \dots \dots 1.12$$

Prova:

Calculando-se o módulo da força de atração:

$$F^2 = F_x^2 + F_y^2 + F_z^2 = \left(-\frac{Gm}{r^3}\right)^2 (x^2 + y^2 + z^2) = \frac{G^2 m^2}{r^6} r^2$$

$$F^2 = \frac{G^2 m^2}{r^4} \quad \therefore \quad F = \frac{Gm}{r^2}$$

No caso geral, onde o sistema de massa atrativa não é coincidente com a origem do sistema de coordenadas $P'(x',y',z')$, tem-se:

$$\bar{F} = -\frac{Gm}{r^3} \left[(x-x')_i^2 + (y-y')_j^2 + (z-z')_k^2 \right]^{1/2} \dots \dots \dots 1.13$$

Considerando um sistema discreto de massas atrativa formado ***n*** partículas não coincidente com a origem do sistema de coordenadas $P'(x',y',z')$, a expressão da força será:

$$\left. \begin{aligned} F_x &= -G \int_M \frac{x-x'}{r^3} dm \\ F_y &= -G \int_M \frac{y-y'}{r^3} dm \\ F_z &= -G \int_M \frac{z-z'}{r^3} dm \end{aligned} \right\} \quad \cdot \quad \cdot \quad \cdot \quad \cdot \quad \cdot \quad \cdot \quad \cdot \quad 1.17$$

2 POTENCIAL DE ATRAÇÃO

Os instrumentos utilizados em levantamentos geodésicos, sobre a superfície da Terra, estão sujeitos às forças físicas. Para a interpretação correta das medidas, faz-se necessário o conhecimento do efeito destas forças. A força física mais conhecida, à qual os equipamentos estão sujeitos, é a *Força da Gravidade*. Assim, nas reduções das medidas ao espaço geométrico, é necessário o conhecimento do campo da gravidade da Terra. Consequentemente, investigações da geometria do Campo da Gravidade fazem parte deste estudo, onde, é necessário o conhecimento da *Teoria Gravitacional de Newton*.

Isaac Newton¹ formulou matematicamente, a conhecida *lei da gravitação universal* que postula: “a força de atração gravitacional \mathbf{F} entre dois corpos, isolados no espaço, dotados de massa m_1 e m_2 , é diretamente proporcional ao produto das duas massas e inversamente proporcional ao quadrado da distância Δl que as separam”. Em módulo, tem-se:

$$F = G \frac{m_1 m_2}{\Delta l^2} \quad (2.1)$$

Esta força é conhecida como *força gravitacional*, também chamada por *atração gravitacional* ou de *Newton*, onde G é a *constante gravitacional de Newton*.

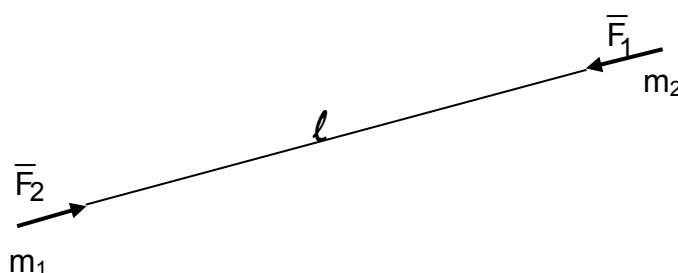


Figura 8 - Atração gravitacional entre duas partículas

A expressão vetorial para a força de atração \vec{F} entre as duas partículas, é dada por:

¹ Isaac Newton (1642 – 1727). Matemático, físico e filósofo inglês, estabeleceu a lei que rege a atração entre corpos, em 1687.

$$\vec{F} = G \frac{m_1 m_2}{l^3} \bar{l}. \quad (2.2)$$

Nos casos práticos, não se aplicam as condições de dimensões desprezíveis dos corpos m_1 e m_2 . Em tais circunstâncias, faz-se necessária a consideração das dimensões dos corpos envolvidos e, assim um corpo de massa M pode ser considerado como composto por elementos de volume elementar dV com densidades ρ . A atração exercida pelo corpo pode ser considerada como a integral das atrações exercidas pelos elementos de volumes dV .

Admitindo a massa atraída como massa unitária, ver figura 9, tem-se:

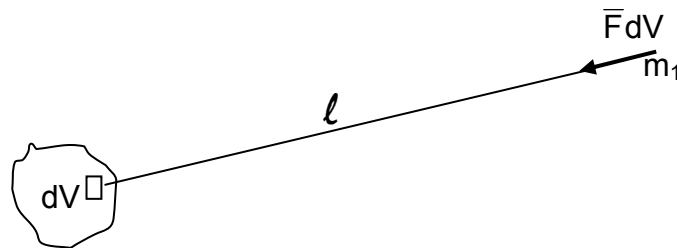


Figura 9 – Atração gravitacional exercida pelo elemento de massa, no corpo m_1 .

$$\vec{F}_{dV} = -G \iiint_V \frac{\rho}{l^3} \bar{l} dV \quad (2.3)$$

A teoria do potencial é devida a Laplace² (1782) e desempenha importante papel na Geofísica, Geodésia e Física, entre outras áreas. A Geodésia utiliza-se da Teoria do Potencial como subsídio para o estudo do campo da gravidade e de suas vinculações com o problema da Forma da Terra.

O potencial gravitacional em um ponto $P(x,y,z)$, engendrado por um corpo de massa m , é dado por:

² Marquês Pierre Simon de Laplace (1749 – 1827). Matemático, astrônomo e físico francês, estabeleceu entre outras contribuições, a equação diferencial parcial de segunda ordem que leva seu nome e cujas soluções (funções harmônicas), ocorrem em diversos problemas da física.

$$V = \frac{Gm}{l} \quad (2.4)$$

Em sistema discreto de massas, tem-se:

$$V = G \sum \frac{m_i}{l_i} \quad (2.5)$$

E o potencial engendrado por um sistema contínuo de massas é dado por:

$$V(P) = V(x, y, z) = G \iiint \frac{\rho}{l} dV \quad (2.6)$$

Fazendo $dm = \rho dV$, o potencial de atração segundo os eixos x , y , z , a expressão (2.3) pode ser escrita para a massa engendrada pelo volume V . Assim, tem-se:

$$\vec{F}_V = - \left[G \iiint_M \frac{(x-x_0)}{l^3} dm \vec{i} + G \iiint_M \frac{(y-y_0)}{l^3} dm \vec{j} + G \iiint_M \frac{(z-z_0)}{l^3} dm \vec{k} \right] \quad (2.7)$$

Considerando-se o corpo atraído de massa unitária, a expressão (2.3) pode ser utilizada na quantificação da atração exercida por uma massa M sobre corpos exteriores ou sobre o mesmo. Sendo desconhecida com precisão a estrutura interna da Terra, com relação à distribuição de densidades, a equação (2.3) é de uso limitados na Geodésia. No entanto, sua utilidade reside na demonstração da inter-relação da força de atração \vec{F} com a densidade.

Em KRUEGER *et al.* (1994), demonstra-se que as derivadas parciais do potencial de atração segundo os eixos coordenados proporcionam as componentes da força de atração em relação aos mesmos eixos,

$$F_x = \frac{\partial V}{\partial x} = G \iiint_M \frac{x - x'}{l^3} dm \quad (2.8)$$

$$F_y = \frac{\partial V}{\partial y} = G \iiint_M \frac{y - y'}{l^3} dm \quad (2.9)$$

$$F_z = \frac{\partial V}{\partial z} = G \iiint_M \frac{z - z'}{l^3} dm \quad (2.10)$$

Onde, nas equações (2.8), (2.9) e (2.10); F_x , F_y , F_z são as componentes de \vec{F} em cada um dos eixos de do terno cartesiano.

Dado os operadores *rotacional* e *divergente*, respectivamente por:

$$\text{Rot} \vec{F} = \begin{vmatrix} \vec{i} & \vec{j} & \vec{k} \\ \frac{\partial}{\partial x} & \frac{\partial}{\partial y} & \frac{\partial}{\partial z} \\ F_x & F_y & F_z \end{vmatrix} \quad (2.11)$$

$$\text{Div } F = \frac{\partial F_x}{\partial x} + \frac{\partial F_y}{\partial y} + \frac{\partial F_z}{\partial z} \quad (2.12)$$

Os campos cujo rotacional é nulo ($\text{Rot}(\vec{F}) = 0$) são ditos não-rotacionais, e sob tal condição, admitem a existência de uma função escalar V , tal que:

$$\vec{F} = \nabla V \quad (2.13)$$

onde, o ∇ representa o operador gradiente, ou seja:

$$\nabla = \frac{\partial}{\partial x} i + \frac{\partial}{\partial y} j + \frac{\partial}{\partial z} k \quad (2.14)$$

Onde, i, j, k são os versores no terno cartesiano. Funções harmônicas são definidas como aquelas que satisfazem a equação diferencial parcial de segunda ordem (HEISKANEN & MORITZ, 1967),

$$\text{Div}(\nabla V) = \Delta V = \frac{\partial^2 V}{\partial x^2} + \frac{\partial^2 V}{\partial y^2} + \frac{\partial^2 V}{\partial z^2} = 0 \quad (2.15)$$

onde Δ é o operador laplaciano.

A expressão (2.15) é conhecida como equação de Laplace e é de grande utilidade na solução de problemas físicos através da Teoria do Potencial. Verifica-se que o potencial gravitacional é uma função harmônica, pois satisfaz a equação de Laplace, no exterior das massas.

Em GEMAEL 1999, encontra-se o desenvolvimento do laplaciano do potencial de atração, para pontos interiores ao corpo de massa m , onde tem-se a equação de Poisson:

$$\Delta V = -4 \pi G \delta \quad (2.16)$$

2.1 Potencial Gravífico

A atração gravitacional produzida por um corpo de massa M para pontos exteriores ao mesmo, conforme visto na seção anterior, é derivada de um potencial harmônico. Para a aplicação da atração gravitacional no estudo do Campo da Gravidade Terrestre e suas relações com a forma da Terra, fazem-se necessárias algumas considerações adicionais.

O vetor gravidade, em um ponto da superfície terrestre, é resultante da força de atração gravitacional \vec{F} e da força centrífuga \vec{C} . Estas duas forças atuam sobre o corpo (ver figura 10), onde a gravidade \vec{g} é expressa como resultante da soma vetorial de ambas (\vec{F} e \vec{C}), conforme expressão (2.17):

$$\vec{g} = \vec{F} + \vec{C} \quad (2.17)$$

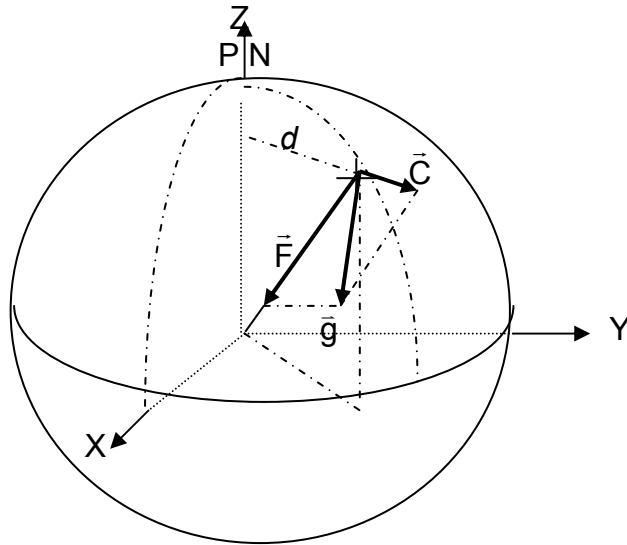


Figura 10 - Atração gravitacional \vec{F} e força centrífuga \vec{C} .

A força centrífuga (vetor) é dada por:

$$\vec{C} = w^2 \vec{d} \quad (2.18)$$

onde:

- . w – representa a magnitude da velocidade de rotação da Terra; e
- . \vec{d} - o vetor definido pela separação entre o ponto e o eixo de rotação terrestre, cujo módulo é dado por:

$$d = \sqrt{x^2 + y^2} \quad (2.19)$$

A força centrífuga (\vec{C}) é devida ao chamado potencial centrífugo (Q), dado por:

$$Q = \frac{1}{2} w^2 d^2 \quad (2.20)$$

$$\text{grad } Q = w^2 x \vec{i} + w^2 y \vec{j}$$

$$\text{grad } Q = w^2 \vec{d}$$

$$\text{grad } Q = \vec{C}$$

O *potencial da gravidade* (W), *potencial gravífico* ou *geopotencial* é expresso pela soma do potencial de atração (V) e do potencial centrífugo (Q), conforme equação (2.21).

$$W = V + Q \quad (2.21)$$

ou

$$W = G \iiint_M \frac{dm}{l} + \frac{1}{2} w^2 d^2 = G \iiint_M \frac{dm}{l} + \frac{1}{2} w^2 (x^2 + y^2) \quad (2.22)$$

O gradiente do geopotencial proporciona a aceleração da gravidade, conforme segue:

$$\vec{g} = \nabla W \quad (2.23)$$

Em GEMAEL (1999), encontra-se o desenvolvimento para obtenção da equação de Poisson Generalizada (equação 2.24), onde é aplicado o operador de Laplace (Δ) na equação (2.21).

$$\Delta(W) = -4\pi G\rho + 2w^2 \quad (2.24)$$

Observa-se que, em média, o valor da força centrífuga, representa apenas aproximadamente, 0,35% da intensidade da força gravitacional, anulando-se nos pólos, e sendo máxima no equador (GEMAEL. C., 1999).

2.2 O Campo da Gravidade Normal

A denominação de *Terra Normal* é dada à *figura geométrica, elipsóide de revolução; o qual possui a mesma massa da Terra real (M), com distribuição homogênea, incluindo a massa da atmosfera; mesma velocidade de rotação (w); é imposta a condição de sua superfície limitante ser eqüipotencial (à superfície do geóide, é imposta a condição de possuir geopotencial (W), numericamente, igual ao*

esferopotencial (U) da superfície da Terra normal); e possui seu centro coincidente com o centro de massa da Terra". Vinculado à Terra normal está o potencial de gravidade normal ou esferopotencial U e o vetor da gravidade normal $\bar{\gamma}$.

O esferopotencial é dado pela soma do potencial de atração da Terra normal (Z) e do potencial centrífugo (Q), que é igual ao da Terra verdadeira:

$$U = Z + Q \quad (2.25)$$

A gravidade normal é dada pela aplicação do operador gradiente à equação (2.25):

$$\bar{\gamma} = \text{grad } U = \frac{\partial U}{\partial x} \bar{i} + \frac{\partial U}{\partial y} \bar{j} + \frac{\partial U}{\partial z} \bar{k} \quad (2.26)$$

Para o exterior do sistema de massas, o esferopotencial de atração é uma função harmônica, pois:

$$\nabla^2 Z = 0 \quad (2.27)$$

Aplicando-se o operador laplaciano ao potencial centrífugo, tem-se:

$$\nabla^2 Q = 2\omega^2 \quad (2.28)$$

Pelo fato do laplaciano do potencial centrífugo não ser nulo, caracteriza-o de não ser uma função harmônica.

2.3 Potencial anômalo

A diferença, num mesmo ponto, entre o potencial da Terra Real (geopotencial W) e o potencial da Terra Normal (esferopotencial U), constitui o *potencial anômalo* ou *anômalo* (T). Assim, o potencial anômalo (quantidade que o geopotencial difere

do esferopotencial) pode ser considerado como o potencial produzido pelas massas anômalas terrestres.

$$T(x, y, z) = W(x, y, z) - U(x, y, z) \quad (2.29)$$

Ainda, os potenciais V , equação (2.21) e Z , equação (2.25) são harmônicos, no exterior das massas. A diferença, na equação 2.29, o potencial centrífugo Q (que é uma função não harmônica) é eliminado; esta subtração, a partir de duas equações não harmônicas, gera uma equação harmônica. O potencial anômalo pode ser interpretado como o potencial produzido pelas “massas anômalas”, ou anomalias entre a Terra Real e a Terra Teórica.

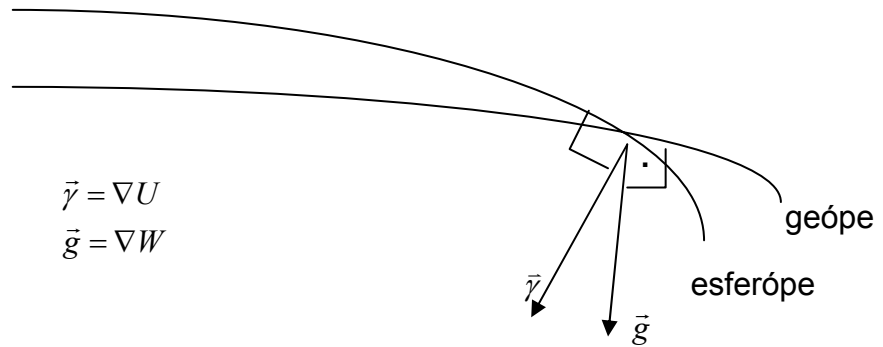


Figura 11 – Eqüipotenciais do campo da gravidade

A diferença entre os módulos dos vetores \bar{g} , equação (2.23) e $\bar{\gamma}$, equação (2.26), num mesmo ponto, é definida como *distúrbio da gravidade* $\bar{\delta}g(P)$, que é uma grandeza que está diretamente vinculada ao potencial anômalo.

$$\delta g(P) = g(P) - \gamma(P) \quad (2.30)$$

O vetor:

$$\bar{\delta}g = \text{grad } T = \frac{\partial T}{\partial x} \vec{i} + \frac{\partial T}{\partial y} \vec{j} + \frac{\partial T}{\partial z} \vec{k} \quad (2.31)$$

A *anomalia da gravidade* (Δg) é definida como a diferença entre a gravidade observada, reduzida ao geóide (P_0), e a gravidade normal, calculada sobre o elipsóide (Q).

$$\Delta g = g(P_0) - \gamma(Q) \quad (2.32)$$

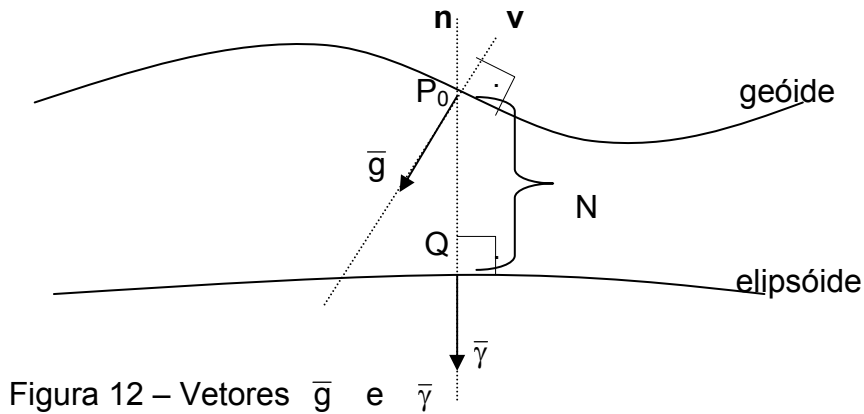


Figura 12 – Vetores \bar{g} e $\bar{\gamma}$

Tomando-se a orientação da gravidade normal para o exterior, tem-se:

$$\gamma(P) = \gamma(Q) + \frac{\partial \gamma}{\partial n} N \quad (2.33)$$

Considerando as equações (2.30) e (2.31), tem-se:

$$\delta g = g(P) - \gamma(P) = -\frac{\partial W}{\partial v} + \frac{\partial U}{\partial n} \approx -\frac{\partial W}{\partial n} + \frac{\partial U}{\partial n} = g(P) - \gamma(Q) - \frac{\partial \gamma}{\partial n} N = -\frac{\partial T}{\partial n} \quad (2.34)$$

Na qual, N representa a altura geoidal, e \bar{n} a direção da normal, orientada para o exterior.

Substituindo a equação (2.32) em (2.34), tem-se a Equação Diferencial da Geodésia Física, equação (2.35).

$$\frac{\partial T}{\partial n} = \Delta g - \frac{\partial \gamma}{\partial n} N \quad (2.35)$$

Dada a fórmula de Bruns (VANICEK, KRAKIWSKY, 1986):

$$N = \frac{T}{\gamma} \quad (2.36)$$

tem-se outra expressão para a *Equação Fundamental da Geodésia Física*:

$$\Delta g = -\frac{\partial T}{\partial n} + \frac{1}{\gamma} \frac{\partial \gamma}{\partial n} T \quad (2.37)$$

A equação (2.37) “mostra” que a anomalia da gravidade é expressa como uma combinação linear entre o potencial anômalo e sua derivada normal. Considerando T como um parâmetro a ser determinado em função de observações da anomalia da gravidade, trata-se de uma condição de contorno sobre a superfície à qual a anomalia da gravidade está referida. A resolução da equação proporciona a determinação de T , e através da fórmula de Bruns calcula-se a altura geoidal N .

Admitindo-se, em uma primeira aproximação, a Terra Normal como esférica, homogênea e sem movimento de rotação, tem-se (GEMAEL, C. 1999):

$$\gamma = \frac{GM}{R^2} \quad (2.38)$$

$$\frac{\partial \gamma}{\partial n} = \frac{\partial \gamma}{\partial R} = -2 \frac{GM}{R^3} = -\frac{2\gamma}{R} \quad (2.39)$$

Adotando-se a “aproximação esférica” e o valor médio de R para o raio da Terra, e um valor médio G para a aceleração da gravidade tem-se:

$$\frac{1}{\gamma} \frac{\partial \gamma}{\partial n} = -\frac{2}{R} \quad \text{e} \quad \frac{\partial \gamma}{\partial n} = -\frac{2G}{R} \quad (2.40)$$

assim, a Equação Fundamental da Geodésia Física será:

$$\Delta g = -\frac{\partial T}{\partial R} - \frac{2}{R} T \quad (2.41)$$

A equação 2.41 constitui a aproximação esférica da Equação Fundamental da Geodésia Física.

2.4 Funções Harmônicas

As funções harmônicas possuem a importante propriedade: “sobre a superfície de uma esfera, tais funções podem ser desenvolvidas em séries de harmônicos esféricos”

2.4.1 Equação de Laplace em coordenadas retangulares

Considerando-se o potencial de atração V gerado por um *sistema discreto de massa*, tem-se:

$$V = G \sum_{i=1}^n \frac{m_i}{l_i} \quad (2.6)$$

Onde:

$$l = [(x - x_i)^2 + (y - y_i)^2 + (z - z_i)^2]^{1/2} \quad (2.42)$$

Desenvolvendo:

$$\frac{\partial^2 V}{\partial x^2}; \quad \frac{\partial^2 V}{\partial y^2}; \quad \frac{\partial^2 V}{\partial z^2} ,$$

Demonstrado em KRUEGER et al, que no exterior das massas:

$$\frac{\partial^2 V}{\partial x^2} + \frac{\partial^2 V}{\partial y^2} + \frac{\partial^2 V}{\partial z^2} = 0 \quad (2.43)$$

Portanto, conclui-se que o Laplaciano do potencial de atração V é nulo ($\Delta V = 0$) no exterior das massas, e assim sendo, V é uma função harmônica.

Considerando-se o potencial de atração gerado por um sistema de *distribuição contínua de massas*, tem-se:

$$V = G \int_M \frac{dm}{r} \quad (2.44)$$

Analogamente, a conclusão da expressão 2.43, também é válida para um sistema de distribuição contínua de massas.

2.4.2 Equação de Laplace em coordenadas esféricas

As funções harmônicas esféricas são importantes em soluções de problemas da Geodésia. No desenvolvimento, faz-se necessário expressar o potencial em coordenadas esféricas. Na figura 9, as coordenadas retangulares (x, y, z) estão relacionadas com as esféricas (r, θ, λ), mediante as expressões:

$$\begin{aligned} x &= r \sin \theta \cos \lambda \\ y &= r \sin \theta \sin \lambda \\ z &= r \cos \theta \end{aligned} \quad (2.44)$$

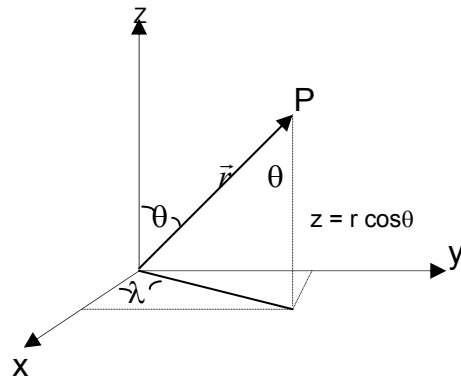


Figura 13 – Sistema de coordenadas esféricas.

Encontra-se em KRUEGER *et al.*(1994) o desenvolvimento do laplaciano em coordenadas esféricas, equação (2.45) ou a (2.46).

$$\Delta V = \frac{\partial^2 E}{\partial r^2} + \frac{2}{r} \frac{\partial E}{\partial r} + \frac{1}{r^2} \frac{\partial^2 E}{\partial \theta^2} + \frac{\cot \theta}{r^2} \frac{\partial E}{\partial \theta} + \frac{1}{r^2 \sin^2 \theta} \frac{\partial^2 E}{\partial \lambda^2} \quad (2.45)$$

ou,

$$\Delta V = r^2 \frac{\partial^2 E}{\partial r^2} + 2r \frac{\partial E}{\partial r} + \frac{\partial^2 E}{\partial \theta^2} + \cot \theta \frac{\partial E}{\partial \theta} + \frac{1}{\sin^2 \theta} \frac{\partial^2 E}{\partial \lambda^2} \quad (2.46)$$

2.4.3 Polinômios de Legendre

Os polinômios de Legendre P_n ou harmônicos esféricos zonais, pertencem à classe das funções especiais, e foram desenvolvidos por Legendre, em 1782, quando investigava expansões em séries de funções potenciais. São casos particulares dos harmônicos de superfície (GEMAEL, 1999) e, sob determinadas condições, soluções da equação de Legendre.

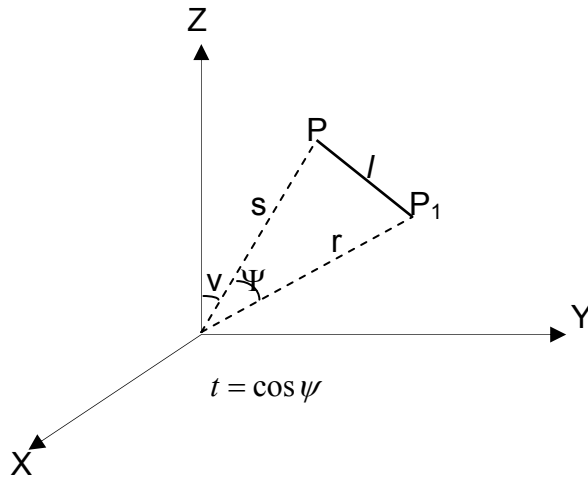


Figura 14 - Aplicação da Lei dos co-senos para obtenção de l .
A distância l , na figura 14, pode ser obtida pela lei dos co-senos;

$$l = (r^2 + s^2 - 2 r s \cos(\Psi))^{1/2} \quad (2.47)$$

fazendo:

$$t = \cos(\Psi) \quad (2.48)$$

tem-se:

$$l = (r^2 + s^2 - 2 r s t)^{1/2} \quad (2.49)$$

ou,

$$\frac{1}{l} = \frac{1}{r} \left[1 - 2 \left(\frac{s}{r} \right) t + \left(\frac{s}{r} \right)^2 \right]^{-\frac{1}{2}} \quad (2.50)$$

Desenvolvendo a equação 2.50, em expansão binomial, resulta em:

$$\frac{1}{l} = \frac{1}{r} \left[1 + \left(\frac{s}{r} \right) t + \left(\frac{s}{r} \right)^2 \left(\frac{3}{2} t^2 - \frac{1}{2} \right) + \left(\frac{s}{r} \right)^3 \frac{5}{2} \left(t^3 - \frac{3}{5} t \right) + \dots \right] \quad (2.51)$$

ou

$$\frac{1}{l} = \frac{1}{r} \left[1 + \left(\frac{s}{r} \right) P_1 + \left(\frac{s}{r} \right)^2 P_2 + \left(\frac{s}{r} \right)^3 P_3 + \dots \right] \quad (2.52)$$

$$\frac{1}{l} = \frac{1}{r} \sum_{n=0}^{\infty} \left(\frac{s}{r} \right)^n P_n \quad \text{para } r \geq s \quad (2.53)$$

onde, P_n é o polinômio de Legendre, de grau n , que pode ser obtido a partir da Fórmula de Ferrer, equação (2.54):

$$P_{nm}(t) = (1-t^2)^{\frac{m}{2}} \frac{\partial^m}{\partial t^m} P_n(t) \quad (2.54)$$

ou a partir da fórmula de Rodrigues:

$$P_n(t) = \frac{1}{n! 2^n} \frac{d^n}{dt^n} (t^2 - 1)^n \quad (2.55)$$

2.4.4 Harmônicos esféricos

Das funções harmônicas, na Geodésia Física, as mais importantes são as funções harmônicas esféricas, que constituem as soluções da equação de Laplace ($\Delta V = 0$). A equação de Laplace analisa o potencial gerado por uma distribuição contínua de partículas num ponto exterior a essa distribuição. As soluções da equação de Laplace são dadas pelas funções harmônicas (HEISKANEN e MORITZ, 1979):

$$V_i(r, \theta, \lambda) = \sum_{n=0}^{\infty} r^n \sum_{m=0}^n [C_{nm} P_{nm}(\cos \theta) \cos m\lambda + S_{nm} P_{nm}(\cos \theta) \sin m\lambda] \quad (2.56)$$

$$V_e(r, \theta, \lambda) = \sum_{n=0}^{\infty} \frac{1}{r^{n+1}} \sum_{m=0}^n [C_{nm} P_{nm}(\cos \theta) \cos m\lambda + S_{nm} P_{nm}(\cos \theta) \sin m\lambda] \quad (2.57)$$

As funções 2.56 e 2.57, representam as soluções gerais e, se V é função potencial, tem-se que as equações (2.56) e (2.57) representam a forma de expansão em séries de harmônicos esféricos do potencial de atração. Se o ponto for no interior da esfera, utiliza-se a equação (3.56) e, para pontos exteriores a esfera, utiliza-se a equação (2.57).

As equações (2.56) e (2.57) representam as funções harmônicas no espaço para formar uma série de harmônicos esféricos sólidos, as quais envolvem harmônicos de superfície, que por sua vez representam os coeficientes constantes representados por C_{nm} e S_{nm} , porém incógnitos.

2.4.5 Geopotencial em harmônicos esféricos

Substituindo-se o inverso da distância entre dois pontos, calculada com a equação (2.53), na expressão do geopotencial, dada pela equação (2.22) tem-se (o desenvolvimento da equação (2.58), encontra-se em GEMAEL, C. 1999):

$$W = \frac{G}{r} \left[\sum_{n=0}^{\infty} \sum_{m=0}^n \int_M \left(\frac{s}{r} \right)^n (a_{n,m} \cos m\lambda + b_{n,m} \sin m\lambda) P_{n,m}(v) dm \right] + \frac{1}{2} w^2 r^2 \sin^2 v \quad (2.58)$$

Adotando-se:

$$A_{nm} = G \iiint_M s^n a_{n,m} dm \quad ; \quad e \quad (2.59)$$

$$B_{nm} = G \iiint_M s^n b_{n,m} dm$$

resulta em:

$$W = \left\{ \sum_{n=0}^{\infty} \sum_{m=0}^n \left(\frac{a}{r} \right)^n [A_{nm} \cos m\lambda + B_{nm} \sin m\lambda] \right\} P_{n,m}(t) + \frac{w^2 r^2 \sin^2 v}{2} \quad (2.60)$$

Admitindo a coincidência da origem do sistema cartesiano com o centro de massa terrestre, e a coincidência do eixo de rotação com o eixo principal de inércia e adotando:

$$A_{nm} = C_{n,m} GM a^n ; \text{ e} \quad (2.61)$$

$$B_{nm} = S_{n,m} GM a^n \quad (2.62)$$

tem-se:

$$W = \frac{GM}{r} \left[1 + \sum_{n=2}^{\infty} \sum_{m=0}^n \left(\frac{a}{r} \right)^n (C_{n,m} \cos m\lambda + S_{n,m} \sin m\lambda) \right] P_{n,m}(t) + \frac{w^2 r^2 \sin^2 v}{2} \quad (2.63)$$

onde, os símbolos representam:

- . W o geopotencial;
- . a o semi eixo maior do elipsóide associado ao modelo;
- . r a distância entre o ponto e o centro de massa terrestre;
- . $C_{n,m}$ e $S_{n,m}$ os coeficientes do desenvolvimento em série; e
- . v e λ respectivamente a co-latidade geocêntrica e a longitude do ponto.

2.4.6 Esferopotencial em harmônicos esféricos

Dada a simetria do elipsóide de revolução, a expressão do esferopotencial constitui-se em um caso particular da expressão do geopotencial, equação (2.63), proporcionando simplificações (GEMAEL, C. 1999):

- a) Anulam-se os harmônicos setoriais e os tesserais pela simetria da rotação, e;
- b) Anulam-se os harmônicos zonais ímpares, devido a simetria equatorial.

Devido as considerações, acima, a expressão do esferopotencial restringe-se aos zonais pares, assumindo a forma:

$$U(r, \nu) = \frac{GM}{r} \left[1 + \sum_{n=1}^{\infty} J_{2n} \left(\frac{a}{r} \right)^{2n} P_{2n}(\nu) \right] + \frac{w^2 r^2 \sin^2 \nu}{2} \quad (2.64)$$

Onde,

$$J_{2n} = (-1)^{n+1} \left(1 - n + \frac{5n J_2}{e^2} \right) \frac{3 e^{2n}}{(2n+1)(2n+3)} \quad (2.65)$$

2.4.7 Potencial anômalo em harmônicos esféricos

O potencial anômalo, definido no item 2.4, pode ser expresso em harmônicos esféricos, onde é obtido a partir da expressões do geopotencial, equação (2.63) e do esferopotencial em harmônicos esféricos, equação (2.64), obtendo-se:

$$T(r, \nu, \lambda) = \frac{GM}{r} \left[\sum_{n=2}^{\infty} \sum_{m=0}^n \delta C_{n,m} \cos m\lambda + S_{n,m} \sin m\lambda \right] P_{n,m}(\cos \nu) \quad (2.66)$$

onde, o termo $\delta C_{n,m}$ representa a diferença entre os coeficientes do geopotencial subtraídos dos respectivos coeficientes do esferopotencial.

O potencial gravitacional de atração (newtoniano) é uma função escalar de posição, já definida (2.4):

$$V_p = \frac{GM}{r}$$

V_p é o potencial exercido pela massa M (x' , y' , z') sobre a partícula de massa unitária $P(x, y, z)$.

No caso de um sistema de discreto de massa, o potencial gravitacional dado por (2.5):

$$\frac{\partial V}{\partial x} = \frac{\partial}{\partial x} \left(\frac{GM}{l} \right)$$

$$\frac{\partial V}{\partial x} = GM \frac{\partial}{\partial x} \left(\frac{1}{l} \right)$$

mas,

$$l = \left[(x - x')^2 + (y - y')^2 + (z - z')^2 \right]^{\frac{1}{2}}$$

desenvolvendo, tem-se:

$$\left. \begin{aligned} \frac{\partial V}{\partial x} &= -\frac{GM}{l^3} x; \\ \frac{\partial V}{\partial y} &= -\frac{GM}{l^3} y \\ \frac{\partial V}{\partial z} &= -\frac{GM}{l^3} z \end{aligned} \right\}$$

Comparando com o grupo de fórmulas 1.12, tem-se:

$$\frac{\partial V}{\partial x} = F_x$$

$$\frac{\partial V}{\partial y} = F_y$$

$$\frac{\partial V}{\partial z} = F_z$$

Este desenvolvimento nos mostrou que as derivadas do potencial gravitacional segundo os eixos coordenados proporcionam as componentes da força de atração em relação aos mesmos eixos.

2.5 Operadores

a) Nabla

$$\vec{\nabla} = \frac{\partial}{\partial x} \vec{i} + \frac{\partial}{\partial y} \vec{j} + \frac{\partial}{\partial z} \vec{k}$$

b) Gradiente de um escalar E

$$\text{grad } E = \vec{\nabla} E$$

c) Divergência de um vetor $\vec{A} [A_x, A_y, A_z]$

$\text{div } \vec{A} = \vec{\nabla} \cdot \vec{A}$ Onde o ponto (.) significa produto interno de vetores.

$$\text{div } \vec{A} = \frac{\partial A_x}{\partial x} + \frac{\partial A_y}{\partial y} + \frac{\partial A_z}{\partial z}$$

d) Rotacional de um vetor \vec{A}

$$\text{rot } \vec{A} = \vec{\nabla} \wedge \vec{A}$$

$$\text{rot } \vec{A} = \begin{vmatrix} \vec{i} & \vec{j} & \vec{k} \\ \frac{\partial}{\partial x} & \frac{\partial}{\partial y} & \frac{\partial}{\partial z} \\ A_x & A_y & A_z \end{vmatrix}$$

e) Operador de Laplace

$$\Delta = \frac{\partial^2}{\partial x^2} + \frac{\partial^2}{\partial y^2} + \frac{\partial^2}{\partial z^2}$$

$$\Delta = \text{div } \text{grad } E$$

2.6 Campos vetoriais

Se a cada ponto de uma região pudermos associar de maneira unívoca um vetor à região em apreço, o conjunto de vetores associados constituem um **campo vetorial**. Exemplo de tais vetores são força de atração, velocidade, aceleração que são “função de ponto” e admitiremos que variam de maneira contínua e uniforme, isto é, as derivadas das componentes do genérico vetor são finitos e determinados.

O Campo da Gravidade sendo um campo vetorial significa que há um vetor, isto é, um triplo de números associados para cada ponto no espaço.

O potencial da gravidade **W** deve conter todas as informações que há no campo da gravidade. Espera-se que o potencial “suave” refira-se a um campo da gravidade também suave. Um potencial irregular deve representar um campo da gravidade também irregular.

A superfície eqüipotencial da gravidade é uma superfície onde o potencial gravidade (geopotencial) é constante

$$W = \text{Constante}$$

Há uma infinidade de superfícies eqüipotenciais, simplesmente assumindo valores diferentes para o potencial. As linhas de forças do campo da gravidade terrestre são chamadas *linhas de prumo (plumb-line)*.

Descreve-se abaixo algumas propriedades das superfícies eqüipotenciais do campo da gravidade:

- Nunca se cruzam, são superfícies fechadas, cada uma “cobrindo” a outra tal como uma cebola;
- Elas são contínuas;
- O raio de curvatura varia muito lentamente de ponto a ponto;
- As superfícies equipotenciais são convexas em todos os pontos (elas não tem baixadas ou vales)

2.7 Geóide e desvio da vertical

A superfície eqüipotencial do campo da gravidade de particular interesse é aquela que mais se aproxima ao nível médio dos mares não perturbado, estendido sobre toda a Terra.

Ela é chamada **geóide**, Gauss descreveu o geóide como uma superfície matemática da Terra, e portanto é a superfície “chave” na Geodésia, prestando um papel importante em posicionamento. Em uma primeira aproximação o geóide pode ser representado pelo nível médio dos mares.

$$\vec{F} = \frac{\partial V}{\partial x} \vec{i} + \frac{\partial V}{\partial y} \vec{j} + \frac{\partial V}{\partial z} \vec{k}$$

ou

$$\vec{F} = F_x + F_y + F_z \quad 2.70$$

A partir das expressões acima, tem-se que as derivadas parciais de V segundo os eixos coordenados representam as componentes do vetor \vec{F} segundo os mesmos eixos; o que confere a V a qualidade de potencial.

Assim,

$$\begin{aligned} \vec{g} &= \text{grad } W \\ \vec{g} &= \text{grad } (V + Q) \\ \vec{g} &= \vec{F} + \vec{C} \end{aligned} \quad 2.71$$

Onde:

- \vec{g} --> Vetor gravidade;
- V --> Potencial gravitacional (atração);
- Q --> Potencial centrífugo (rotação); $Q = \frac{w^2 d^2}{2}$
- \vec{F} --> Representa a atração exercida pela massa da Terra sobre a partícula de massa unitária;
- \vec{C} --> Força centrífuga que a massa unitária se acha sujeita.

O **potencial W**, é decorrente das massas terrestre e da rotação do planeta e é denominado como **Geopotencial**.

Pelo fato do geopotencial ser um campo conservativo, tem-se:

$$\text{grad } W = \frac{\partial W}{\partial x} \vec{i} + \frac{\partial W}{\partial y} \vec{j} + \frac{\partial W}{\partial z} \vec{k}$$

ou

$$\text{grad } W = g_x \vec{i} + g_y \vec{j} + g_z \vec{k} \quad 2.72$$

Onde, as componentes podem ser escritas da forma:

As linhas de forças do campo da gravidade terrestre são denominadas de **“linhas de prumo”**, e na literatura inglesa de **“plumb-line”**.

Segue algumas propriedades das superfícies eqüipotenciais:

- Nunca se cruzam, são superfícies fechadas, cada uma cobrindo a outra tal como uma cebola;
- Elas são contínuas;
- Não apresentam “quebra brusca”;
- O raio de curvatura local muda muito lentamente de ponto para ponto, com exceção onde a densidade de massas variam bruscamente; e
- As superfícies eqüipotenciais são convexas em todos os pontos (elas não tem “baixadas”, vales ou valas).

Quando movimentando sobre uma superfície eqüipotencial (o potencial não muda) não realizamos trabalho, pois este movimento não vai no mesmo sentido e nem contra a direção do campo de força. A consequência é que as linhas de forças devem ser perpendicular às superfícies eqüipotenciais. Como a direção da linha de prumo é referida com a direção da vertical, as superfícies eqüipotencias definem a direção horizontal, desta forma são chamadas de superfície de nível.

O **geópe fundamental** é o **geóide** (W_0), este é definido com sendo a *“superfície eqüipotencial que mais se aproxima ao nível médio dos mares não perturbado, prolongada aos continentes”*

A Figura 16, abaixo, mostra-nos o caso ideal: corpo esférico, imóvel, com distribuição de massas perfeitamente homogênea. Assim, pontos eqüidistantes do centro possuem o mesmo potencial resultando superfícies eqüipotenciais esféricas e concêntricas (as radiais representam as linhas de força do campo

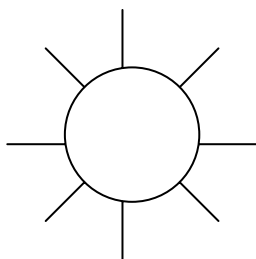


Figura 16 – Campos de forças (caso ideal)

Imprimindo ao corpo (caso acima) um movimento de rotação, resultará que as superfícies eqüipotenciais deixarão de ser esféricas, pois a contribuição do potencial centrífugo diminui com o aumento da latitude (nos pólos a força centrífuga é nula). Se a distribuição de massas deixar de ser simétricas, elas “fugirão” também do modelo primitivo (caso ideal). A principal consequência é que as linhas de forças, conservando-se, perpendiculares às superfícies eqüipotenciais, elas deixam de ser retas, conforme ilustrado na Figura 17.

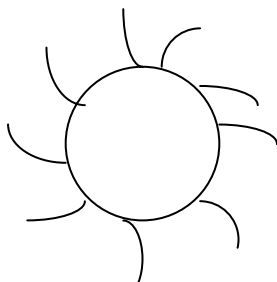


Figura 17 – Campo de forças (corpo em rotação)

3.3 Distúrbio da Gravidade ∂g

O distúrbio da gravidade é definido como a diferença entre os módulos do vetor gravidade (\bar{g}_P) e o módulo da gravidade normal ($\bar{\gamma}_P$) no mesmo ponto.

[illegible]

O vetor *distúrbio da gravidade*:

$$\bar{\partial}g = \bar{g}_p - \bar{\gamma}_p. \quad (3.7)$$

$$\bar{\partial}q = \text{grad} (W - U) = \text{grad } T. \quad 3.8$$

[illegible]

Fazendo a “normal coincidir com a vertical”, tem-se:

[illegible]

3.4 Equação fundamental da Geodésia Física

a) Considerando a diferença de potencial entre o esferope (superfície eqüipotencial da Terra Normal) passante por P_0 , projeção de P sobre o geóide, e P'_0 , projeção de P sobre o elipsóide.

$$U_0 - U = \bar{N} \cdot \bar{\gamma}$$

$$U = U_0 - N \gamma$$

Lembrando: $T = W - U$,

[illegible]

Derivando esta equação (3.12) e forçando para que a normal coincida com a vertical, tem-se:

$$\frac{\partial T}{\partial n} = \frac{\partial W_0}{\partial n} - \frac{\partial U_0}{\partial n} + N \frac{\partial \gamma}{\partial n} \quad (3.13)$$

$$\frac{\partial T}{\partial n} = -g + \gamma + N \frac{\partial \gamma}{\partial n}$$

[illegible]

A equação acima (Eq. 3.14) é a ***Equação diferencial básica da Geodésia Física***, esta equação nos “mostra” que a anomalia da gravidade Δg é consequência de:

- a gravidade g referir-se a gravidade medida na superfície física e reduzida ao geóide, e a gravidade normal λ ser calculada sobre o elipsóide; e
- da atração das massas anômalas.

Assumindo que o *esferopotencial* sobre o elipsóide possui o mesmo valor que o *geopotencial* sobre o geóide, a Equação 3.12 será:

[illegible]

Esta Equação (3.15) é conhecida como **Equação de Bruns**, ela relaciona a ondulação do geóide com o potencial anômalo.

Introduzindo a Equação de Bruns na Equação diferencial básica da Geodésia Física, tem-se a ***Equação Fundamental da Geodésia Física*** (3.16):

$$\Delta g = \frac{T}{\gamma} \left(\frac{\partial \gamma}{\partial n} - \frac{\partial T}{\partial n} \right) \quad (3.16)$$

4 PROBLEMA DE CONTORNO

problema direto da Teoria do Potencial

”determinação do potencial a partir das massas geradoras”

problema inverso da Teoria do Potencial

“a partir do potencial, determinar as massas geradoras”

O problema inverso não admite solução única, pois existem infinitas distribuições de massas que conduzem ao mesmo potencial (tal conclusão basta considerar esferas concêntricas com a mesma massa). Interessa ao geodesta o problema inverso.

Problema de contorno (da Teoria do Potencial)

- primeiro problema – DIRICHLET

“determinar uma função harmônica no interior de uma dada superfície S quando são conhecidos os valores que a função assume sobre a superfície (contorno)”.

- segundo problema – NEUMANN

“determinar uma função harmônica no interior de uma dada superfície S quando são conhecidos os valores que a derivada normal da função assume sobre a superfície”.

- terceiro problema – HILBERT

“determinar uma função harmônica no interior de uma dada superfície S quando são conhecidos os valores que assume sobre a superfície uma combinação da função e de sua derivada normal”.

Problema de contorno da Geodésia Física

O problema de contorno da Geodésia Física nos diz: *“conhecidos os valores do potencial gravífico e de sua derivada normal sobre a superfície Física da Terra determinar essa superfície”.* e ainda nos

diz: “conhecidos os valores do potencial gravífico e de sua derivada normal sobre a superfície Física da Terra determinar o campo gravífico externo à superfície”.

propriedades do potencial de atração

- é uma função harmônica no exterior das massas;
- satisfaz a equação de Poisson no interior de tais massas;
- é uma função escalar de ponto cujo gradiente representa a força de atração produzida pelas massas sobre a partícula de massa unitária;
- é uma função contínua;
- tem derivadas primeiras contínuas;
- tem derivadas segundas contínuas exceto sobre a superfície limitante das massas;
- tende a zero quando o ponto se afasta para o infinito;
- é uma função harmônica no interior e exterior de uma superfície material;
- é uma função cuja derivada direcional representa a componente da força de atração nessa direção; e
- é constante no interior de uma superfície material esférica.

4.1 Determinação Gravimétrica das Ondulações do Geóide e do Desvio da Vertical

A Fórmula de Stokes (1849) é de grande importância à Geodésia Física, pois proporciona a ondulação geoidal (separação entre o geóide e o elipsóide) em função das anomalias da gravidade. O uso desta fórmula envolve o conhecimento da gravidade em todo o planeta.

No trabalho original de Stokes “On the variation of gravity at the surface of the Earth”, dois tópicos são tratados:

1. Conhecendo-se a forma de uma superfície eqüipotencial, limitante de um sistema de massas atrativas, dotado de movimento de rotação e o valor da gravidade em um ponto da superfície, determinar o campo externo independente de qualquer hipótese sobre a distribuição de massas no interior da superfície; e
2. Inversamente, conhecendo-se o valor da gravidade em todos os pontos de uma superfície eqüipotencial, determinar a forma dessa superfície.

[illegible]

Δg_n – termo genérico do desenvolvimento em harmônico esférico.

Introduzindo a expressão 4.2 na expressão 4.4, tem-se:

[illegible]

Na equação 4.5, o termo:

$$\sum_{n=2}^{\infty} \frac{2n+1}{n-1} P_n(\psi) = S(\psi)$$

é dependente somente de ψ , e pode ser expresso por:

$$S(\psi) = \cos \operatorname{ec} \frac{\psi}{2} + 1 - 6 \sin \frac{\psi}{2} - 5 \cos \psi - 3 \cos \psi \log_e [\sin \frac{\psi}{2} (1 + \sin \frac{\psi}{2})] \quad .4.6$$

Substituindo 4.6 em 4.5, tem-se:

[illegible]

ou,

[illegible]

4.3 Co-geóide

A aplicação da integral de Stokes pressupõe a inexistência de massas externas ao geóide. A supressão das massas topográficas (externas ao geóide) acarreta um novo problema, ou seja, “produz” uma Terra Fictícia com a conseqüente alteração do potencial gravífico. Em tais condições, a Fórmula de Stokes proporcionará a separação entre o elipsóide de referência e um “geóide fictício”, designado por co-geóide.

4.4 Restrições na aplicação da integral de Stokes

Stokes, na dedução utilizou-se da “aproximação esférica” e também do desenvolvimento de Δg em harmônico esféricos, ocasionando problemas de convergência da série.

A integral de Stokes dever ser estendida ao total da superfície da Terra, o que implica em dizer que deve-se conhecer a anomalia da gravidade em toda a superfície da Terra, ou em quantidade e distribuição geográfica convenientes. Esta é uma grande dificuldade, pois ainda em nossos dias, são desconhecidas as anomalias da gravidade na maioria das área oceânica, nos desertos e nas florestas.

O potencial anômalo dever ser harmônico em qualquer ponto externo do geóide o que implica na necessidade da remoção das massas topográficas (massas externas ao geóide).

A fórmula de Stokes pressupõe a igualdade das massas do elipsóide de referência e da Terra Verdadeira, pressupõe também que o geopotencial ser igual ao esferopotencial do elipsóide de referência e impõe a condição de que o centro de gravidade do elipsóide coincidir com o da Terra.

A fórmula 4.9, abaixo, é designada por **Fórmula de Stokes Generalizada**

$$N = \frac{k \Delta M}{RG} - \frac{\Delta W}{G} + \frac{R}{4\pi G} \int_{\sigma} \Delta g S(\psi) d\sigma \quad . \quad . \quad 4.9$$

Onde:

$\frac{k \Delta M}{RG} = T_0$, representa o termo de grau zero no desenvolvimento do potencial anômalo, e

$\Delta M = M_T - M_E$, representando, respectivamente, a massa da Terra e a do elipsóide, e

$\Delta W = W_0 - U_0$, diferença entre o potencial do geóide e do elipsóide.

4.5 Fórmula de Vening-Meinesz

O cálculo das componentes do desvio da vertical podem ser calculadas por astronomia associada à geodésia. Na Geodésia Física as componentes são calculadas utilizando-se das anomalias da gravidade na fórmula de Vening-Meinesz. O desvio da vertical determinado a partir da anomalia da gravidade é denominado de desvio gravimétrico, enquanto o desvio da vertical determinado pela geodésia associada à astronomia é denominado de desvio astro-geodésico. O desvio da vertical em um ponto do geóide mede a inclinação do geóide em relação ao elipsóide de referencia.

$$\begin{aligned} \xi'' &= -\frac{\rho''}{2\pi G} \int_0^\pi \int_0^{2\pi} \Delta g f'(\psi) \cos A \sin \psi \, d\psi \, dA \quad 4.10 \\ \eta'' &= -\frac{\rho''}{2\pi G} \int_0^\pi \int_0^{2\pi} \Delta g f'(\psi) \sin A \sin \psi \, d\psi \, dA \end{aligned}$$

A Fórmula de Vening-Meinesz (Equação 4.10) pode ser re-escrita em função de coordenadas geográficas:

$$\begin{aligned} \xi'' &= -\frac{\rho''}{2\pi G} \int_{-\pi/2}^{\pi/2} \int_0^{2\pi} \Delta g(\phi', \lambda') f'(\psi) \cos \phi' \cos A \, d\phi' \, d\lambda' \quad 4.11 \\ \eta'' &= -\frac{\rho''}{2\pi G} \int_{-\pi/2}^{\pi/2} \int_0^{2\pi} \Delta g(\phi', \lambda') f'(\psi) \sin \phi' \sin A \, d\phi' \, d\lambda' \end{aligned}$$

Onde, $\Delta\lambda$ e $\Delta\varphi$ define a amplitude do quadrado de latitude média φ_m .

ψ é a distância esférica da estação gravimétrica (onde se pretende determinar calcular a contribuição ΔN) ao centro do quadrado. ψ é calculado utilizando-se da fórmula fundamental da Trigonometria Esférica:

$$\cos\psi = \sin\varphi_o \sin\varphi + \cos\varphi_o \cos\varphi \cos\Delta\lambda \quad . \quad . \quad . \quad 4.23$$

O cálculo de **N** é determinado utilizando-se um mapa mundi, dividido em quadrado, onde são inscritos os coeficientes de Stokes; a partir dos dados gravimétricos de todo o Globo Terrestre avalia-se a anomalia média de cada quadrado; o produto do coeficiente de Stokes pela anomalia média do quadrado nos proporciona a contribuição ΔN do quadrado na determinação final de **N**, que será determinado pela somatória de destes ΔN .

Hirvonen, em 1934, foi o pioneiro a determinar um geóide onde, reuniu anomalias da gravidade esparsas, aproximadamente 4 500, reduziu-as a um mesmo sistema (Potsdam), calculou a ondulação do geóide em 62 pontos. Utilizando-se da anomalia Faye.

Tanni, em 1948, elaborou o mapa geoidal a partir de 218 valores de **N** calculados em anomalias isostáticas no sistema Pratt-Hayford, onde adotou a profundidade de 113,7 Km.

O termo **B** da Fórmula 5.8 corresponde a diferença entre as componentes verticais da atração produzida pela *calota* e pelo *platô* de Bouguer. Prestando para “transformar” o platô numa calota.

correção de terreno

O termo **C** da Fórmula 5.8 (correção do terreno) é responsável pela “eliminação” das massas topográficas irregulares em relação à calota. Seu cálculo é executado a partir de cartas altimétricas da região vizinha à estação. A região é dividida em *zonas* (denominadas de **zonas literais de Hayford**) são designadas pelo alfabeto maiúsculo **A** pequena calota que envolve a estação gravimétrica, por **B** . . . , por **C** . . . , . . . **O**, esta representa a *zona mais afastada, com raio de 166,7 Km* e delimita a calota de Bouguer.

5.3 Reduções isostática

A isostasia postula a existência de um estado de equilíbrio na litosfera com relação às ações decorrentes da gravidade. Neste estado de equilíbrio, aos excessos de massas (exemplificando, nas montanhas) e às deficiências de massas (nos oceanos) em relação ao geóide, correspondem **massas internas de compensação**.

O equilíbrio isostático é atingido em determinadas regiões do planeta, estas regiões são denominadas de **regiões compensadas**, há regiões em que o equilíbrio isostático ainda não está completo, ou seja, a região encontra-se em fase de processamento (são as regiões **sub-compensadas**); ou ainda há regiões onde o equilíbrio foi ultrapassado (são as regiões **super-compensadas**).

5.3.1 Sistema Prat-Hayford

O sistema Prat postula a igualdade entre as massas topográficas e as *massas de compensação* que se estendem do geóide até uma determinada **profundidade de compensação**. O equilíbrio isostático é consumado pela variação de densidade do material subjacente ao geóide (sob as montanhas – excessos de massa em relação ao geóide – haveria uma deficiência de densidade e sob o leito dos oceanos – as águas oceânicas representariam uma deficiência de massa – haveria um excesso em relação ao valor médio atribuído às massas superficiais).

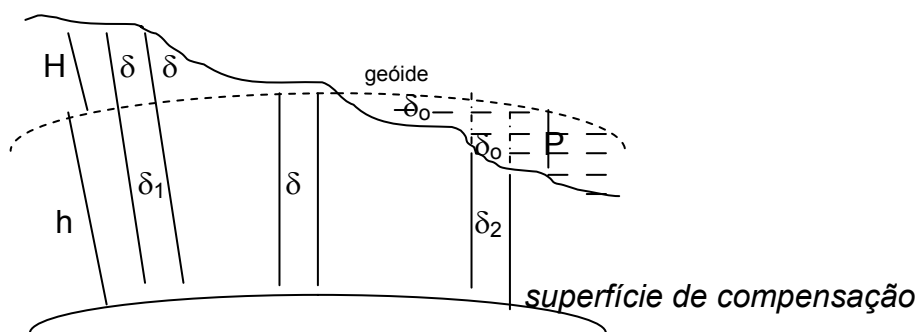


Figura 22 – Sistema Prat-Hayford

5.3.2 Sistema Airy-Heiskanen

O sistema Airy-Heiskanen postula um equilíbrio isostático baseado na igualdade de massas topográficas e as massas de compensação que seria atingido de maneira diferente daquela de Pratt. No sistema de Pratt a profundidade de compensação é constante, varia a densidade da litosfera. Já no sistema Airy a **densidade é constante** e varia a profundidade de compensação. Onde o **magma**, “flutua” na litosfera, seria de densidade constante. Assim sendo, nas montanhas haveria uma “*raiz*” que é a maior parte que “mergulha” no magma. Sob os oceanos é a “*anti-raiz*” que ocupa lugar de material mais leve compensando as deficiências oceânicas.

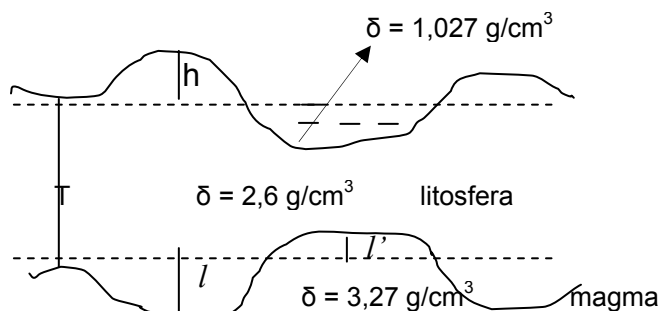


Figura 23 – Sistema Airy – Heiskanen

6.2.3 *Altitude de Vignal*

Neste sistema de altitude, na equação 6.4 o γ é utilizado a média da gravidade teórica (gravidade normal) do ponto e a gravidade teórica no geóide. Assim, tem-se:

- γ_0 é a gravidade normal do ponto; e

- $\gamma_p = \gamma_0 - C_F$

- $\gamma_p = \gamma_0 - 0,154 \times 10^{-6} H$

C_F – é a correção free-air = $0,3086 H \times 10^{-6}$ Kgal

Observa-se que este sistema de altitude é adotado na França.

6.2.4 *Altitude normal*

Na definição de altitude normal, utiliza-se o valor de γ da expressão 6.4, sendo igual ao valor médio da *gravidade teórica* do ponto, calculado na superfície do elipsóide Q_0 e a gravidade teórica calculada na superfície que possui esferopotencial igual ao geopotencial do ponto Q, conforme figura 26.

Considerando a figura 26, na qual o ponto Q, situado sobre a normal ao elipsóide relativo ao ponto P, possui *esferopotencial* igual ao *geopotencial*.

A superfície do campo da gravidade que possui **esferopotencial** igual **geopotencial** do **ponto** é denominada de **TELURÓIDE**. A distancia do *teluróide* ao ponto, contada ao longo da normal do ponto, é definida como **anomalia de altitude** ζ . A superfície que esta afastada da superfície do elipsóide de referência de uma quantidade igual a *anomalia de altitude* é designada de **guase-geóide de Molodensky**.

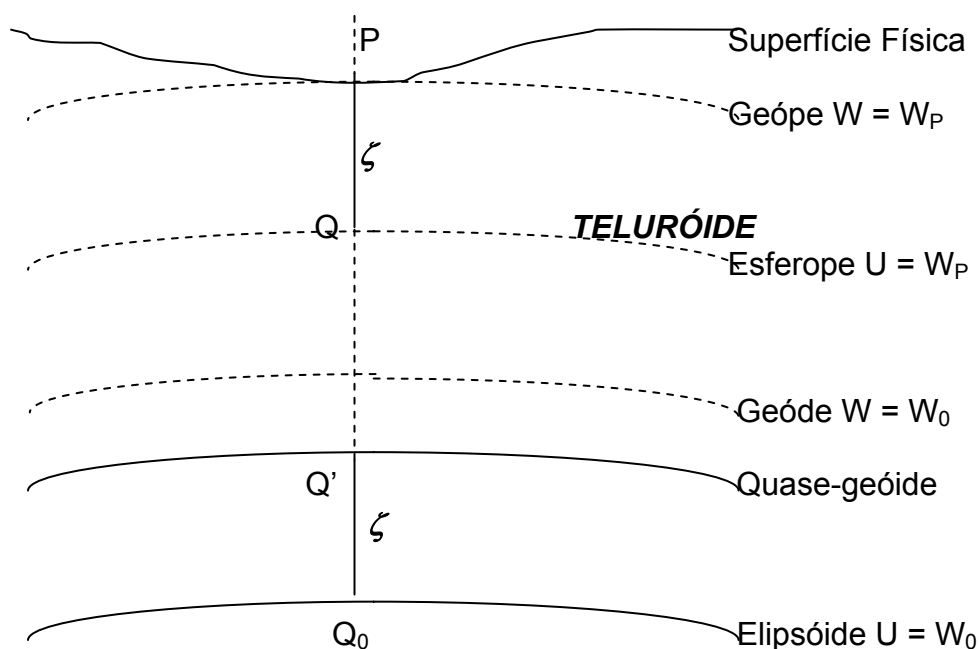


Figura 26 – Altitude normal

Na Figura 26, tem-se:

Altitude normal de P = PQ' que é igual à QQ₀.

A altitude normal é obtida quando utilizar-se na expressão 6.4 γ por:

$$\gamma_n = \gamma [1 - (1 + \alpha + m - 2\alpha \sin^2 \varphi) H^M / a + H^{M^2} / a^2] \quad . \quad . \quad . \quad 6.7$$

Onde, $m = 0,003\,449\,801$

6.2.5 Altitude dinâmica

A altitude dinâmica é obtida utilizando, na equação 6.4, o valor constante de γ , usualmente adota-se o valor da gravidade teórica (normal) média da região, por exemplo, utilizar o valor médio da região de γ .

$$\gamma_{67} = 978,0318 (1 + 0,005\,302\,4 \sin^2 \varphi - 0,000\,005\,9 \sin^2 2\varphi)$$

6.3 Influência da atração luni-solar no valor da gravidade

Conforme já estudado em capítulos anteriores, a gravidade é resultante da força de atração exercida pela massa da Terra e da força centrífuga decorrente da rotação do nosso planeta. A força de atração do Sol e da Lua influencia nas determinações da gravidade na superfície da Terra, produzindo alteração da intensidade e da direção da gravidade. Devido à contínua mudança da posição do Sol e da Lua, implica afirmar que a intensidade e a direção da gravidade está continuamente alterando a força de atração sobre a Terra. Devido a esta contínua alteração da posição dos planetas mencionados, nas determinações da gravidade deve-se determinar a hora em que foi executada a determinação, isto permitirá a eliminação da influência da atração luni-solar.

Define-se **força de maré** como sendo a diferença da atração exercida pelo Sol e Lua sobre a unidade de massa colocada nesse ponto (superfície da Terra) e no centro da Terra.

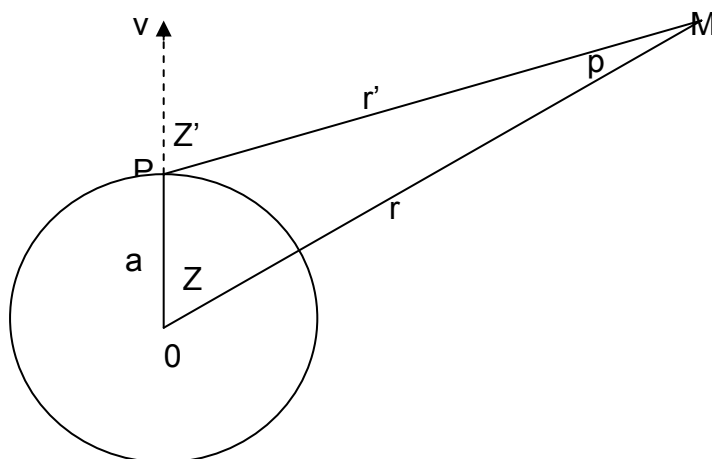


Figura 27 – Força de Maré (tidal force)

7 MÉTODOS PARA DETERMINAÇÃO DO GEÓIDE

A determinação do geóide tem o significado da determinação da posição que este ocupa em relação ao elipsóide. Assim, determinar o geóide consiste na obtenção da separação, em todos os pontos, das superfícies do elipsóide e do geóide. Convencionalmente, são atribuídos os sinais positivos às ondulações acima do elipsóide e negativos em caso contrário.

A determinação do geóide, nas últimas quatro décadas tem tido uma evolução lenta, mas atualmente constitui um tema muito promissor tanto no aspecto teórico como prático. Os satélites artificiais propiciaram uma grande variedade de dados e o desenvolvimento da informática, aliada aos novos algoritmos, possibilitou o processamento destes dados com extraordinária rapidez; estes desenvolvimentos estão proporcionando alterações nas técnicas de posicionamento e de representação do campo da gravidade da Terra.

Com o advento do GPS, o geóide deixa de ser importante apenas no posicionamento horizontal e faz-se importantíssimo no posicionamento vertical. Atualmente, uma operação relativamente simples com receptores GPS, permite a determinação das coordenadas cartesianas de um ponto $P(X,Y,Z)$ sobre a superfície terrestre. A partir dos parâmetros elipsoidais do sistema de referência, pode-se calcular as correspondentes coordenadas geodésicas do ponto $P(\varphi,\lambda,h)$. O cálculo da altitude ortométrica (H) do ponto envolve o conhecimento da ondulação do geóide (N) no ponto considerado, pois as altitudes geométricas e as ortométricas estão relacionadas pela equação, que segue:

$$(H \cong h - N)$$

Assim, a determinação da altitude ortométrica através do GPS pressupõe o conhecimento da ondulação do geóide (N) com precisão compatível ao desejado na componente altitude.

Existem três métodos para a determinação de N , destaca-se que apesar de sua longa existência, mantém-se atuais. O primeiro método, aqui apresentado, adota-se a fórmula proposta por Stokes e o geóide obtido é denominado de *geóide gravimétrico*, visto que N é obtida a partir da anomalia da gravidade. Para o segundo método, utiliza-se do desvio da vertical, obtido pela comparação das coordenadas

astronômicas e as geodésicas, o geóide assim determinado é denominado de *astro-geodésico*, utilizando-se fórmulas de Vening-Meinesz que através das anomalias da gravidade, determina-se as componentes dos desvios da vertical e a partir destas a ondulação do geóide é determinada em relação a outro ponto cuja ondulação do geóide seja conhecida. O terceiro método utiliza-se de dados obtidos das observações aos satélites artificiais, onde geodesicamente, pode-se classificar os satélites em dois grupos: satélites para aplicações geométrica; e satélites para aplicações dinâmicas.

Atualmente, as técnicas mais usadas para a determinação do geóide com alta precisão, visando o nivelamento com o GPS, consistem basicamente na representação das altitudes geoidais através de componentes distintas, denominadas **global, a regional e local** (SÁ, N.C., 1993). A **componente global** é determinada a partir dos coeficientes que representam o esferóide (elipsóide de revolução (TORGE, W. 1980)); a **componente regional** é determinada a partir de dados do campo de gravidade reduzidos ao esferóide; e a **componente local** introduz correções calculadas através de dados complementares, tais como modelos digitais da topografia e da densidade da crosta.

7.1 N a partir da anomalia da gravidade

No ano de 1849, Stokes desenvolveu a fórmula que leva seu nome, esta de fundamental importância à Geodésia Física, pois proporciona a determinação da separação geóide - elipsóide em função da anomalia da gravidade, Stokes em seu trabalho postula: *“conhecendo-se a forma de uma superfície eqüipotencial, limitante de um sistema de massas atrativas, dotado de movimento de rotação e o valor da gravidade em um ponto da superfície, determinar o campo externo, independente de qualquer hipótese sobre a distribuição de massas no interior da superfície”* ou *“conhecendo-se o valor da gravidade em todos os pontos de uma superfície eqüipotencial, determinar a forma dessa superfície”*. Stokes tinha consciência do valor apenas teórico, visto que naquela época não era possível obter o valor da gravidade em todo o planeta, principalmente nas regiões oceânicas.

No início deste século, com o desenvolvimento de gravímetros com dispositivos tri-pendular de Vening-Meinesz de fácil manejo, permitem as determinações gravimétricas em regiões oceânicas.

superfície do oceano e o geóide) tem sido determinada utilizando-se dos dados dos satélites Geosat e Topex/Poseidon.

O potencial gravitacional da Terra, V é representado por uma expansão harmônica esférica, onde os coeficientes do potencial podem ser determinados por várias técnicas. A determinação dos coeficientes do potencial podem ser por duas maneiras: o mais alto grau, na expansão foi estendido para melhorar os coeficientes de alto grau através do uso de dados adicionais de satélites e dados gravimétricos terrestres, conseqüentemente proporcionando um modelo de maior resolução; a acuracidade dos coeficientes são continuamente “melhorados” com inclusão de dados adicionais que melhora a “cobertura” geográfica e a acuracidade.

Até meados da década passada, mais de 30 modelos do geopotencial haviam sido desenvolvidos, baseados em diferentes aproximações. Após o lançamento do primeiro satélite artificial, os dados orbitais vêm sendo armazenados e analisados, proporcionando melhora gradativa. Os modelos mais divulgados são os da série **Smithsonian Astrophysical Observatory Standar Earth** - SAO-SE, o **Goddard Earth Model** – **Natinal Aeronautics and Space Administration** NASA – GEM, o **Ohio State University** – OSU, o **Groupe de Recherche Spatial – Institut Universität München** – GRIM e o **GeoPotential Model** – GPM. Outros modelos foram elaborados com missões específicas, tais como LAGEOS, STARLETTE, ERS-1, etc. Alguns destes modelos foram determinados a partir de dados orbitais de satélites (GEM-T1 e GEM-T2), enquanto outros combinam estes elementos com observações gravimétricas e altimétricas (OSU-86, OSU-89, OSU91A, GPM1 e GPM2). Em função da posição geográfica, a estimativa da acurácia global dos parâmetros derivados de tais modelos podem variar de modelo para modelo.

7.3.1 **Modelo OSU91A**

O modelo OSU91A foi desenvolvido pela **Ohio State University** no ano de 1991. Os coeficientes do grau de 2 à 50 foram gerado a partir do modelo GEM-T2 e de anomalias de gravidade médias em blocos de 30' x 30' e de dados altimétricos da superfície dos oceanos gerados pelo Geosat. As anomalias da gravidade terrestres foram combinadas com anomalias estimadas. Os coeficientes de grau 51 à 360 foram obtidos a partir do modelo GEM-T2 combinados com anomalias da gravidade espaçadas de 30'. As anomalias ajustadas resultantes da combinação acima, foram então utilizadas na determinação do conjunto completo de coeficientes até grau e ordem 360, bem como do respectivo desvio padrão para cada coeficiente, obtidos do ajustamento por mínimos quadrados. O desvio padrão estimado (1 sigma) para valores das ondulações geoidais no OSU91A são da ordem de 26 cm nas áreas oceânicas; 38 cm em áreas terrestres com uma boa cobertura de dados da gravidade; 56 cm em áreas terrestres com fraca cobertura de dados da gravidade; e 200 cm em área terrestre onde não existem dados da gravidade.

7.3.2 **Modelo EGM2008**

Nas últimas décadas (1990-2000), tem havido uma soma de esforços envolvendo a colaboração, análises e recursos do **National Imagery and Mapping Agency** – NIMA, da NASA **Goddard Space Flight Center** – GSFC e da **Ohio State University**. Como resultado desta junção de esforços, tem-se o novo modelo global do campo gravitacional da Terra denominado **Earth Gravitational Modelo 1996** – EGM96. A forma do modelo EGM96 é uma expansão do potencial gravitacional (V). Este modelo é completo até grau e ordem 360, contendo 130 676 coeficientes.

O desenvolvimento do EGM96 deu-se com uso dos dados da gravidade do NIMA e dados de satélites da NASA/GSFC. A NIMA proporcionou dados da anomalia da gravidade de todo o globo terrestre de 30' e 1°, esta anomalia foram determinada a partir de pontos de anomalia da gravidade de 5' X 5' obtidos do arquivo de altura do geóide do GEOSAT *Geodetic Mission*. O processamento do Geosat foi executado utilizando-se da técnica de colocação por mínimos quadráticos para estimar a anomalia da gravidade 30' x 30', com suas respectivas precisões.

A participação do GSFC envolveu muitas fases, incluindo a determinação de órbita de satélites a partir de dados de rastreamento de, aproximadamente, 30 satélites, incluindo os satélites do SLR, TDRSS e GPS. Nesta fase resultou no EGM96S (modelo com base apenas nos dados dos satélites do EGM96 para grau e ordem 70).

No desenvolvimento do modelo para o grau e ordem 70, foi incorporado os dados dos satélites altimétricos do TOPEX/POSEIDON, ERS-1 and GEOSAT juntamente com o EGM96S. A maior contribuição dos dados usados pelo GSFC incluiu novas observações do Lageos, Lageos-2, Ajisai, Saterlette, Stella, TOPEX, GPSMET, GEOS-1 and GEOSAT.

Finalmente, o GSFC desenvolveu o modelo de alto grau EGM96 utilizando-se da combinação de dados até grau e ordem 70 (dados de satélites EGM96S, dados de altimetria e dados terrestres), para a determinação dos coeficientes do grau e ordem de 71 à 359 utilizou-se da solução de bloco diagonal, e para o grau e ordem 360 utilizou-se da solução por quadratura.

Dando sequência ao EGM96, foi elaborado o modelo gravimétrico EGM2008, onde o mesmo é composto coeficientes que o representam a ondulação geoidal por grau 2190 e ordem 2159.

7.4 N a partir do GPS/nivelamento

O desenvolvimento do nivelamento geométrico, usualmente realizado ao longo de rodovias (lugares de fácil acesso) nos proporcionam a altitude ortométrica (assunto contido no capítulo VI). Os pontos da superfície terrestre com altitude conhecidas são denominados de **Referencia de Nível – RN**.

No processamento, a determinação da coordenadas geodésicas utilizando-se do sistema GPS nos proporcionam coordenadas retangulares (X, Y, Z) referenciadas ao sistema ao sistema WGS84 (isto quando utilizado as efemérides transmitidas). Quando utiliza-se as coordenadas precisas, deve-se ter em mente que as efemérides podem estar em outro sistema de referência, por exemplo no ITRF. Estas coordenadas retangulares podem ser transformadas para outros sistemas de referências, e a partir destas, calcular as coordenadas geodésicas elipsoidais (latitude, longitude e altitude geométrica).

[illegible]

[illegible]

[illegible]

$$z_i = aE_i + bN_i + cN_iE_i + dE_i^2 + eN_i^2 + f \quad (7.12)$$

Onde:

z_i – representa a ondulação do geóide na RN;

E_i, N_i – coordenadas UTM das RN_i ; e

a, b, c, d, e, f – são os parâmetros a serem determinados no ajustamento.

Ainda, as equações acima, podem sofrer algumas adaptações, tais como substituir as coordenadas “E”, “N”, pelas coordenadas geodésicas X, Y, Z, . . .

7.5 Determinação de N a partir do GPS/nivelamento associado aos modelos geopotenciais

Os modelos do geopotencial tem a capacidade de representar, com fidelidade, os longos comprimentos de ondas do campo da gravidade terrestre . Em levantamentos de áreas, relativamente pequenas, é o caso da presente pesquisa, há a necessidade da representação dos curtos comprimentos de onda. A determinação da altitude com GPS esses pontos com referência de nível conhecidas, permite a determinação da ondulação do geóide com fidelidade.

A determinação da ondulação do geóide a partir do rastreamento GPS em pontos pertencentes à rede fundamental de nivelamento do Brasil RN, nos possibilita calcular a “real” ondulação do geóide, os modelos do geopotencial nos fornece a ondulação do geóide do modelo. A diferença entre as ondulações geoidais do modelo com as ondulações determinadas com GPS/nivelamento, nos permite o cálculo da “separação” entre o modelo e o efetivo geóide; levado este conceito de diferenças de ondulações geoidais (modelo – GPS/nivelamento) às várias RRNN existentes em uma região, pode-se, com auxílio de uma das equações 3.97 à 3.100

e do método dos mínimos quadrados (m.m.q.), determinar um plano (equação 3.97) ou uma poli-superfície (uma das equações 3.98, 3.99 ou 3.100) que representará um “modelo matemático” da separação existente entre o geóide, naquela região, e o modelo geopotencial.

Assim, o procedimento para a determinação da ondulação do geóide pelos modelos do geopotencial associado ao GPS/nivelamento, deve-se primeiramente determinar a ondulação do geóide pelo modelo do geopotencial, em um ponto qualquer de interesse pertencente à região, aplica-se o modelo matemático (determinado pelo m.m.q.) ao ponto de interesse; determinando assim a separação entre os modelos matemático e geopotencial, soma-se esta quantidade ao valor determinado pelo modelo geopotencial, obtendo assim a ondulação do geóide a partir do GPS/nivelamento associado ao modelo do geopotencial.

Esquemáticamente, a Figura 22 nos mostra a situação da determinação da ondulação do geóide por GPS/nivelamento associado aos modelos dos geopotencial.

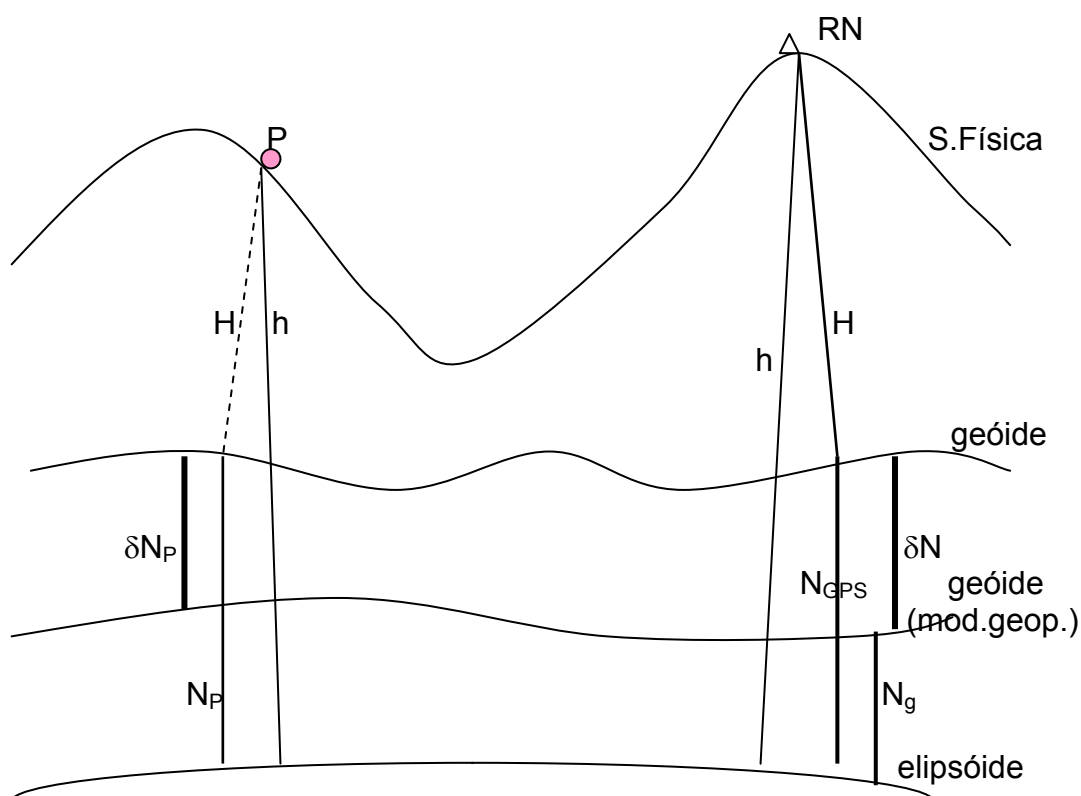


Figura 29 - Determinação da ondulação do geóide pelo modelo do geopotencial associado ao GPS/nivelamento.

Onde:

. H – Altitude ortométrica;

- . h – Altitude geométrica;
- . N_g – Ondulação do geóide obtida pelo modelo do geopotencial;
- . N_{GPS} – Ondulação do geóide obtida pelo GPS/nivelamento; e
- . δN – Separação entre o modelo geopotencial e o geóide.

Com auxílio da Figura 29 tem-se:

$$\delta N = N_{\text{GPS}} - N_g$$

ou,

[illegible]

Ainda, utilizando a Figura 29 e imaginando uma situação onde determinar a altitude ortométrica, utilizando desta técnica – associação do GPS/nivelamento com o modelo geopotencial – onde, P representa o ponto no qual intenciona-se a determinação do N_P . Em uma situação ideal, tem-se:

[illegible]

A determinação do modelo matemático que proporciona δN_P dá-se de maneira análoga à determinação do geóide geométrico, onde será modelado a diferença de ondulação (δN_P), obtido pelo modelo geopotencial e GPS/nivelamento nas RRNN. Lembra-se que nas equações, acima mencionadas, z_i devem ser substituídos por δN_i . Seleccionada qual das equações será utilizada para representar a separação, com auxílio do m.m.q., determina-se os parâmetros da equação seleccionada. Esta equação deverá representar a separação entre o modelo geopotencial e o geóide da região em apreço. Utiliza-se o modelo do geopotencial, ao ponto no qual pretende-se N_P , e com auxílio dos parâmetros determinados no ajustamento, calcula-se o δN_P , a expressão 3.102 nos proporcionará a ondulação do geóide no ponto.

8 BIBLIOGRAFIA

- ARANA, J. M. (2000) **O Uso do GPS na Elaboração de Carta Geoidal**. Tese de Doutorado. Departamento de Geomática. Setor de Ciências da Terra. Universidade Federal do Paraná UFPR. Curitiba.
- AYHAN, M.E. Geoid determination in Turkey (TG-91). **Bulletin Géodésique**. Springer-Verlag. Berlin. v 67. n 1. 1993.
- BIRARD, G., SANTARSIERO, D., TUFILLARO, D., SURACE, L. Setting-up local "mapping geoids" with the aid of GPS/LEV Traverses Application to the geoids of Sardinia and Calabria. **Journal of Geodesy**. Springer-Verlag. Berlin. v 70. n 1-2. 1995.
- BLITZKOW, D. **O Problema de valor de contorno da Geodésia: resultados práticos para a América do Sul**. Tese de Livre Docência. Departamento de Engenharia de Transporte, Escola Politécnica, USP. São Paulo. 1996.
- BONFORD, G. **Geodesy**, 2ed., London, Oxford University Press, 1962.
- FIELDER, J. Orthometric heights from Global Positioning System. **Journal of Surveying Engineering**. New York. v 118. n 3. 1992.
- FORSBERG, R. Terrain effects in geoid computations. **International School for the Determination and use of the Geoid**. Milan. n 1, 1994.
- GEMAEL, C. **Marés Terrestre**. Curso de Pós-Graduação em Ciências Geodésicas. Departamento de Geociências. Setor de Tecnologia. Universidade Federal do Paraná – ufpr. CURITIBA. 1986
- GEMAEL, C. **Geodésia Celeste: Introdução**. Curso de Pós-graduação em Ciências Geodésicas. Universidade Federal do Paraná UFPR. Curitiba. 1991.
- _____. **Determinação da gravidade em Geodésia**. Curso de Pós-Graduação em Ciências Geodésicas. Departamento de Geociências. Setor de Tecnologia. Universidade Federal do Paraná - UFPR. Curitiba. 1985.
- _____. **Introdução à Geodésia Física**. Editora da Universidade Federal do Paraná . Curitiba. 1999.
- HEISKANEN, W. A., MORITZ, H. **Physical Geodesy**. Depointed Institute of Physical Geodesy, Technical University, Gras, Australia, 1979.
- KRUEGER, C. P., ARANA, J. M., CORDINI, J., FERREIRA, L. D. D., CAMARGO, P. O., FABRI, S. M. **Teoria do Potencial**. Curso de Pós-Graduação em Ciências Geodésicas. Departamento de Geociências. Setor de Tecnologia. Universidade Federal do Paraná UFPR. Curitiba. 1994.

- KUANG, S., FIDIS, C., THOMAS, F. **Modeling of the local geoid with GPS and leveling: A case study.**
- LI, Y. C. e SIDERIS, M. G. Minization and estimation of geoid undulation errors. **Bulletin Géodésique.** Springer – Verlag. v. 68. 1994.
- MALYS, S., SÇATER, K; A.. S,OTH. R. W., KUNZ, L. E., KENYON, S. C. **International Symposium on Kinematic Systems Geodesy. Geomatics and Navigation.** Department of Geomatics Engineering. The University of Calgary, Canadá. 1997.
- MARTINEC, A., VANICEK, P., MAINVILLE, A., VÉRONNEAU, M. The effect of lake water on geoidal height. **Manuscripta Geodaetica.** Springer-Verlag. Berlin. 1995.
- PAVLIS, N.K. Development Applications of Geopotential Models. **Escola de Geóide.** Fundação Instituto Brasileiro de Geografia e Estatística - IBGE, Rio de Janeiro. 1997.
- PESSOA, L. M. da C. **Análise comparativa de Modelos Geoidais na Bacia do Paraná: contribuição à Determinação do Geóide.** Seminário Apresentado ao Curso de Pós-Graduação em Ciências Geodésicas _ UFPR. Curitiba, 1994.
- PRADO, W. S. **Determinação das ondulações do geóide através de harmônicos esféricos.** Dissertação de Mestrado em Ciências Espacial. INPE. 1981.
- RAPP, T. H. and NEREM, R. S. **A joint GSFC/DMA project for improving the model of the Earth's gravitational field.** Ohio.
- SÁ, N. C. de. **III Congresso Internacional da Sociedade Brasileira de Geofísica.** Um Geóide para aplicações do GPS em Geociências. Instituto Astronômico e Geofísico. Universidade de São Paulo – IAG/USP. São Paulo. 1993
- SÁ, N. C. de, MOLINA. E. C. **XVII Congresso Brasileiro de Cartografia.** O geóide gravimétrico no Estado de São Paulo: resultados preliminares. Instituto Astronomico e Geofísico. Universidade de São Paulo - IAG/USP. São Paulo. 1995.
- TORGE, W. **Geodesy.** Berlin. Walter de Gruyter. 1980.
- VANICK, P. e KRAKIWSKY, E. J. **Geodesy:The concepts.** NHPC - Amsterdan, New York, Oxford. University of New Brunswch. Canadá. 1982.